



БИООРГАНИЧЕСКАЯ ХИМИЯ

Том 19 * № 1 * 1993

УДК 577.113.5 : 577.212.2'152.31 *412

© 1993 И. В. Гавриленко, Г. Е. Байда,
А. В. Карпов, Н. П. Кузьмин

НУКЛЕОТИДНАЯ ПОСЛЕДОВАТЕЛЬНОСТЬ ГЕНОВ ФОСФОЛИПАЗЫ С И СФИНГОМИЕЛИНАЗЫ *Bacillus cereus* BKM-B164

Институт биохимии и физиологии микроорганизмов РАН, г. Пущино Московской обл.

Bacillus cereus — широко распространенный токсикогенный микроорганизм [1]. Клонирование и идентификация генов потенциальных факторов патогенности *B. cereus* и создание на их основе ДНК-зондов для тестирования и классификации патогенных штаммов представляет большой интерес для медицины, сельского хозяйства и экологии.

К числу метаболитов *B. cereus*, рассматриваемых в качестве потенциальных факторов патогенности этого микроорганизма, относятся фосфатидилхолин- и сфингомиелинспецифичные фосфолипазы С (PC-PLC, КФ 3.1.4.10, и SM-PLC, КФ 3.1.4.12) [1]. Несмотря на кажущуюся очевидность действия PC-PLC и SM-PLC на клетки-мишени, вклад этих ферментов в вирулентность *B. cereus* пока не ясен. Известно, что сфингомиелиназа (SM-PLC) способна лизировать эритроциты. Гемолитическое действие SM-PLC зависит от доли содержания сфингомиелина в мембранах эритроцитов и связано с гидролизом сфингомиелина в составе эритроцитарной мембранны [2]. Фосфолипаза С (как часто называют PC-PLC) не является гемолизином и не способна гидролизовать фосфатидилхолин (лецитин) в составе мембранны интактных эритроцитов [3]. Тем не менее PC-PLC следует относить к потенциальным факторам патогенности *B. cereus* — в присутствии PC-PLC наблюдается усиление гемолитического действия SM-PLC [3, 4]. После установления тандемного расположения генов PC-PLC и SM-PLC на хромосоме *B. cereus* [4—7] двухкомпонентный гемолитический фактор, представляющий собой смесь этих ферментов, получил название цереолизина АВ [4].

К настоящему времени определена первичная структура генов PC-PLC и SM-PLC *B. cereus* штаммов SE-1 [6, 7] и GP-4 [4] и гена SM-PLC *B. cereus* IAM-1208 [5]. Данная работа посвящена клонированию и определению нуклеотидной последовательности тандемно расположенных генов PC-PLC и SM-PLC *B. cereus* BKM-B164.

Клонирование области хромосомы *B. cereus* BKM-B164, содержащей гены PC-PLC и SM-PLC, проходило в два этапа. Первоначально из банка генов *B. cereus* BKM-B164, полученного путем клонирования продуктов неполного гидролиза хромосомной ДНК рестриктазой *Sau*3AI в *Bam*HI-сайт векторного фага лямбда (λ47.1), был отобран рекомбинантный фаг лямбда-H2, вызывающий у хозяйственных клеток *Escherichia coli* Z85 [8] гемолитический фенотип. Рекомбинантная ДНК этого фага содержала *Sau*3AI-фрагмент хромосомной ДНК *B. cereus* BKM-B164 размером 2,2 т.п.о., делеционные производные которого, переклонированные в векторные плазмиды pUC18/19 (рис. 1а, б), были использованы для определения нуклеотидной последовательности *Sau*3AI-EcoRV-фрагмента методом Максами—Гилберта [9]. Полученная последовательность сравни-

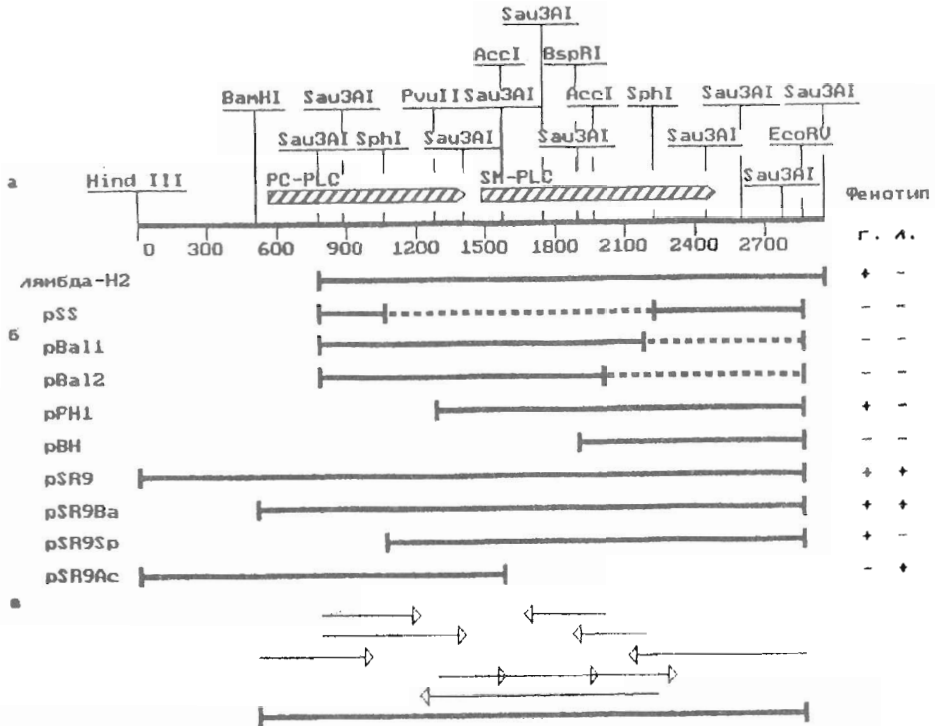


Рис. 1. Физическая и генетическая карта *HindIII-Sau3AI*-фрагмента хромосомной ДНК *B. cereus* BKM-B164, содержащего гены PC-PLC и SM-PLC (а). Субклонирование и функциональный анализ *Sau3AI-EcoRV*- и *HindIII-EcoRV*-фрагментов в клетках *E. coli* (тестирование трансформантов *E. coli* на гемолитическую (г.) и лецитиназную (л.) активности проводилось согласно рекомендациям, описанным в работе [4]) (б). Стратегия секвенирования *BamHI-EcoRV*-фрагмента (в).

валась с нуклеотидными последовательностями генов PC-PLC и SM-PLC *B. cereus* [5, 6] и была идентифицирована как содержащая часть гена PC-PLC и полный ген SM-PLC, о чем сообщалось ранее [10].

Для получения фрагмента ДНК, содержащего целые гены обоих ферментов, хромосомную ДНК *B. cereus* BKM-B164 гибридизовали с секвенированным *Sau3AI-EcoRV*-фрагментом, использованным в качестве ДНК-зонда. Таким образом удалось идентифицировать клонированный в плазмиде pUC19 *HindIII*-фрагмент хромосомной ДНК *B. cereus* BKM-B164 (размером около 7,2 т.п.о.). Трансформация клеток *E. coli* Z85 рекомбинантными плазмидами, содержащими этот фрагмент, приводила к появлению (помимо гемолитического) лецитиназного фенотипа. При субклонировании *HindIII*-фрагмента была получена рекомбинантная плазмиды pSR9Ba, содержащая в качестве вставки *BamHI-EcoRV*-фрагмент хромосомной ДНК *B. cereus* BKM-B164, включающий в себя секвенированный *Sau3AI-EcoRV*-фрагмент и недостающую часть гена PC-PLC (*BamHI-Sau3AI*-фрагмент) (рис. 1). Нуклеотидную последовательность *BamHI-Sau3AI*-фрагмента определяли с помощью дидезоксициклоэтидного метода [9].

Полная нуклеотидная последовательность генов PC-PLC и SM-PLC *B. cereus* BKM-B164 зарегистрирована в банке данных EMBL (код X64141) и представлена

Рис. 2. Нуклеотидная последовательность *BamHI-EcoRV*-фрагмента хромосомной ДНК *B. cereus* BKM-B164, содержащего гены PC-PLC и SM-PLC. Одинарной линией подчеркнуты последовательности, кодирующие предполагаемые лидерные пептиды, двойной — предполагаемые области Шайна—Далгарно. Вертикальной чертой обозначен конец полученной ранее последовательности фрагмента ДНК *B. cereus* SE-1 [6, 7].

SD PC-PLC												Met Lys Lys Val Leu Ala Leu Ala Ala GCA GCA GCT												
SD SM-PLC												Lys Lys Val Leu Ala Ser Lys Ile Lys Ile												
1	GGATCC	TAAC	AAAGTT	TACAA	ATAATTG	CATTATAA	GGGAGATTICAG																	
85	ATT	ACA	GTA	GTC	GCT	CTT	CAA	AGC	GTT	GCA	TTT	GCT	His	Glu	Asn	Asp	Gly	Gly	Ser	Lys	Ile	Lys	Ile	Ala
157	GTT	CAC	CGC	TGG	TCT	GCT	AAA	CAT	GAA	GAA	AAA	CAT	GAA	AAT	GAT	GGG								
229	ATT	GAT	ATT	ATG	TCT	CGC	AAT	ACA	CTT	GTA	AAA	CAT	GAA	GAT	GAT	GAA								
301	GAG	TTA	GAG	AAC	GGT	ATT	TAT	GCT	GAC	TAT	AAA	GAT	GAA	AAA	CCT	TAT								
373	TTC	TAT	GAT	CCA	GAC	Asp	Pro	Gly	Lys	Thr	Tyr	Ile	Pro	Phe	Ala	Lys	Gln	Ala	Lys	Glu	Thr	Gly	Ala	Lys
445	TCT	AAA	TTA	GCT	GCT	GGT	GAA	TCA	TAC	TAC	AAA	GAT	ATG	AAA	GAA	TTC								
517	CAT	TAT	TTA	GGA	GAT	GAA	Asp	Vai	Gln	Pro	Met	His	Ala	Ala	Asn	Phe	Gln							
589	CAT	TCT	AAA	TAT	GAA	AAC	TTC	GAT	GAT	AGC	ATA	AAA	GAT	AAA	GAT	AAA	GAT	AAA	GAT	AAA	GAT	AAA	GAT	AAA
661	AAC	TGG	AAA	GTC	ACA	GTC	AAA	GAA	GAG	TGG	ATT	CAT	GCA	GCG	GCA	GTA	GCG	GAA						
733	ATT	GTA	AAT	GAT	AGC	AAA	GAT	TGG	TTC	GTA	AAA	GCA	GCT	GTC	TCA	CAA	GAA	TAT	GAA	GAA	GAA	GAA	GAA	GAA
805	GCT	GAA	GTT	ACA	CCA	ATG	ACA	GGT	AAG	Arg	Leu	Met	Asp	Ala	Gln	Arg	Val	Thr	Ala	Gly	Tyr	Ile	Gln	Leu
877	TGG	TTT	GAT	ACG	TAC	GGA	GAT	CGT	TAA	Arg	Arg	Arg	Arg	Arg	Arg	Arg	Arg	Arg	Arg	Arg	Arg	Arg	Arg	Arg
963	SD SM-PLC	AATGGAGGTATGGAAC	Val	Lys	Gly	Lys	Ile	Leu	Lys	Gly	Val	Leu	Ser	Phe	Gly	Ile	Gly	Leu	Gly	Val	Leu	Tyr	Tyr	Tyr
1037	GCA	GCT	TCT	TCA	GTC	CAA	GCA	GAT	ACG	TCT	ACA	GAT	AAA	ACG	ACT	TTC	TTG							

FIG. 2 (continued)

1109	Tyr	Met	Leu	Ser	Thr	Asn	Leu	Tyr	Pro	Asn	Tp	Gly	Gln	Set	Gln	Arg	Ala	Asp	Leu	Ile	Gly	Ala	Asp		
	TAT	ATG	CTA	TCA	ACT	AAC	TGA	TAT	CCG	AAC	TGG	GGA	CAA	AGT	CAG	CGT	GCC	GAT	TTA	ATT	GGG	GCG	GAT		
1120	Tyr	Ile	Lys	Asn	Gln	Asp	Val	Val	Val	Leu	Glu	Val	Phe	Asp	Arg	Asn	Ser	Ala	Ser	Asp	Leu	Ile	Gly		
	TAT	ATT	AAG	AAT	CAG	GAT	GTA	GTT	ATA	TGA	AAT	GAA	GTC	TTC	GAT	AAT	AGC	GCA	TCA	GAT	CGT	TTG	TTA	GGG	
1123	Asn	Leu	Lys	Lys	Glu	Tyr	Pro	Asn	Gln	Thr	Ala	Val	Leu	Gly	Arg	Ser	Asn	Gly	Asn	Glu	Tp	Asp	Lys	Thr	
	ATT	TTC	AAG	AAA	GAA	TAT	CCA	AAT	CAA	ACA	GCA	GCA	TTA	GGT	CCT	AAT	AGT	AAT	GAA	AAT	GAA	TGG	GAT	AAA	ACG
1325	Leu	Gly	Ser	Tyr	Ser	Ser	Ser	Thr	Pro	Glu	Asp	Gly	Vai	Ala	Val	Val	Ser	Lys	Tp	Pro	Ile	Val	Gln	Gln	
	TTA	GCT	AGC	TAT	TCA	TCT	TCA	ACG	CCT	GAA	GAT	GGA	GTC	GTT	GCA	ATC	CTG	ATG	AAA	TGG	CCG	ATC	GTT	GAA	
1397	Lys	Ile	Gln	Tyr	Val	Phe	Ala	Lys	Gly	Cys	Gly	Pro	Asp	Asn	Leu	Ser	Asn	Lys	Gly	Ph	Val	Tyr	Thr	Lys	
	ATT	CAA	TAT	GTA	TTC	GCA	AAA	GGA	TGC	GGA	TGC	CCA	GAT	AAT	TTA	TCA	AAT	AAA	GGG	TTC	GTA	TAC	ACG	AAA	
1469	Ile	Lys	Lys	Asn	Asp	Arg	Phe	Val	His	Val	ile	Gly	Thr	His	Leu	Gln	Ala	Glu	Asp	Ser	Met	Cys	Gly	Lys	
	ATT	AAG	AAA	ATT	GAT	CGT	TTC	GTT	CAT	GTC	ATT	GCG	ACA	CAC	TTC	CAG	GCT	GAA	GAT	ATG	TGT	GCA	TGA	AAA	
1541	Thr	Ser	Pro	Ala	Ser	Val	Arg	Thr	Asn	Gln	Leu	Lys	Glu	Ile	Gln	Asp	Phe	Ile	Lys	Asn	Lys	Ile	Pro	Pro	
	ACT	TCA	CCT	GCA	TCT	GTA	CGT	ACA	AAC	CAG	CTA	AAA	GAA	ATT	CAA	GAT	TTT	ATT	AAA	AAT	AAG	AAT	ATA	CCA	
1613	Asn	Asp	Glu	Tyr	Val	Ile	Phe	Gly	Gly	Asp	Met	Asn	Val	Asn	Lys	Ile	Asn	Ala	Glu	Asn	Ser	Asp	Ser		
	ATT	GAC	GAG	TAC	GTT	CTA	TCT	GGT	GAT	GAT	ATG	AAC	GTC	AAT	AAA	ATA	ATC	TAT	ACA	GAC	AAC	ATA	AGT	GAC	
1685	Glu	Tyr	Ala	Ser	Met	Phe	Lys	Thr	Leu	His	Ala	Ser	Ile	Pro	Ser	Tyr	Thr	Gly	His	Thr	Ala	Thr	Trp	Asp	
	GAG	TAC	GCA	TCC	ATG	TTT	AAA	ACA	TTG	CAT	GGG	TCA	ATT	TCA	TCT	TAT	ACG	GGA	CAT	ACA	ACT	TGG	GAT	TGT	
1757	Ala	Thr	Asn	Ser	Ile	Ala	Lys	Tyr	Asn	Phe	Pro	Asp	Ser	Pro	Ala	Glu	Tyr	Leu	Asp	Tyr	Ile	Ala	Asp		
	GCA	ACG	ACA	AAC	AGT	ATT	GCA	AAA	TAT	TTC	CCT	GAT	AGT	CCT	GCC	GAG	TAT	TTA	GAT	TAT	ATT	ATT	GCA	ATT	
1829	Ser	Lys	Asp	His	Ala	Asn	Pro	Ser	Phe	Ile	Glu	Asn	Lys	Val	Gln	Pro	Lys	Ser	Pro	Gln	Trp	Thr	Val	Val	
	AGT	AAG	GAC	CAT	GCG	AAU	CCA	TCA	TCT	TTT	ATA	GAG	AAT	AAA	GIA	TTA	CAA	CCA	AAA	TCT	CCA	CAG	TGG	ACT	
1901	Thr	Ser	Tp	Leu	Lys	Tyr	Thr	Ty	Ty	Ser	Asp	Tp	Ty	Ser	Asp	His	Tyr	Pro	Val	Ala	Ala	Thr	Met		
	TCA	TGG	CTC	AAA	AAA	TAT	ACG	TAT	GAT	GAT	GAT	TAT	TCT	GAT	TAT	CAT	TAT	CCA	GCA	GCA	ACT	ATT	TCT	ATG	

Lys	1973	TCCTAAAAAAGTTCTCTTAATAGGAAGAACCTTITATTGTAGAGGATTCACATTCTTCCAATATGTATAACA
	1974	AAG TAG TCCTAAAAAAGTTCTCTTAATAGGAAGAACCTTITATTGTAGAGGATTCACATTCTTCCAATATGTATAACA
	2064	CATATAGAAAGAGGAAQAAAAGTGTGATCGAAGAATTTTAAAGAAGTTCAATTCTGTGATTTGGATGAACTAGCTTGTGATATA
	2158	AAATATTCAAATGATTATAGAAATTAAAGTGAAA TAAGAAAGATTCTGATAGCGAGTAACTGTTACGTTCTGTCGCGTTATGCCAAAGGATTCAGAATTATGCCGATATC
	22250	TAGCTGCAAAATGATCTGTTCAAGGTTATATGTTACCTAGGGAAQTTTGTGTTTAATGAAACAAGGATTCAAGTATTATGCCGATATC

Рис. 2 (окончание)

на рис. 2. С помощью программы анализа последовательностей MicroGenie [11] осуществлено выравнивание полученных нуклеотидных последовательностей генов PC-PLC и SM-PLC *B. cereus* BKM-B164 с соответствующими последовательностями для *B. cereus* штаммов SE-1 [6, 7] (код EMBL X12854), IAM-1208 [5] (код EMBL X12711) и GP-4 [4]. Оказалось, что нуклеотидная последовательность генов PC-PLC и SM-PLC *B. cereus* BKM-B164 полностью совпадает с таковой для *B. cereus* SE-1 [6, 7]. Напротив, полученные последовательности генов заметно отличаются от соответствующих последовательностей штаммов IAM-1208 [5] и GP-4 [4]. Так, по сравнению со штаммом GP-4 в последовательности, кодирующей зрелую PC-PLC, имеется 31 нуклеотидная замена; в последовательности, кодирующей зрелую SM-PLC, — 89 нуклеотидных замен, 1 вставка и 1 делеция. По сравнению со штаммом IAM-1208 в последовательности, кодирующей зрелую SM-PLC, имеется 89 нуклеотидных замен. В то же время следует отметить, что нуклеотидные последовательности, кодирующие зрелую SM-PLC штаммов GP-4 и IAM-1208, практически полностью совпадают (3 нуклеотидные замены, 1 вставка и 1 делеция).

Ранее в работе [4] уже проводилось сравнение нуклеотидных последовательностей генов PC-PLC *B. cereus* штаммов GP-4 и SE-1. По мнению авторов [4], различия, обнаруженные в этих последовательностях, не связаны с проявлением внутривидовых различий, а обусловлены мутантной природой штамма SE-1, полученного путем нитрозогуанинового мутагенеза клеток *B. cereus* штамма ATCC-10987 и представляющего собой суперпродуцент по PC-PLC. В пользу предложенной интерпретации свидетельствует и практически полное совпадение нуклеотидных последовательностей генов SM-PLC в природных штаммах IAM-1208 и GP-4. Однако полное совпадение последовательности генов PC-PLC и SM-PLC «дикого» штамма *B. cereus* BKM-B164 (выделенного в качестве контаминаента из аптечного вазелинового масла) с соответствующей последовательностью штамма SE-1 указывает на то, что полученная для него нуклеотидная последовательность не является артефактом мутагенеза. Таким образом, различие нуклеотидных последовательностей генов SM-PLC (и PC-PLC), обнаруживаемое между парами штаммов *B. cereus* (SE-1 и BKM-B164, с одной стороны, и GP-4 и IAM-1208 — с другой), однозначно свидетельствует об имеющемся внутривидовом разнообразии структур этих генов.

Авторы выражают искреннюю благодарность В. М. Крюкову и В. Н. Ксензенко за помощь в проведении секвенирования.

СПИСОК ЛИТЕРАТУРЫ

1. Turnbull P. C. B./Pharmacology of Bacterial Toxins/Eds Dorner F., Drews J. Oxford: Pergamon Press, 1986. P. 397—448.
2. Ikezawa H., Mori M., Taguchi R./Arch. Biochem. and Biophys. 1980. V. 199. № 2. P. 572—578.
3. Verkleij A. J., Zwaal R. F. A., Roelofsen B., Confurius P., Kastelijn D., Van Deenen L. L. M./Biochim. et biophys. acta. 1973. V. 323. № 2. P. 178—193.
4. Gilmore M. S., Cruz-Rodz A. L., Leimeister-Wachter M., Kreft J., Goebel W./J. Bact. 1989. V. 171. № 2. P. 744—753.
5. Yamada A., Tsukagoshi N., Udaka S., Sasaki T., Nakino S., Nakamura S., Little C., Tomita M., Ikezawa H./Eur. J. Biochem. 1988. V. 175. № 2. P. 213—220.
6. Johansen T., Holm T., Guddal P. H., Sletten K., Haugli F. B., Little C./Gene. 1988. V. 65. № 2. P. 293—304.
7. Johansen T., Haugli F. B., Ikezawa H., Little C./Nucl. Acids Res. 1988. V. 16. № 21. P. 10370.
8. Зайцева Е. Н., Зайцев Е. М., Бакланова И. В., Горелов В. Н., Кузьмин Н. П., Крюков В. М., Ланцов В. А./Генетика. 1986. Т. 22. № 11. С. 2721—2727.
9. Sambrook J., Fritsch E. F., Maniatis T. Molecular Cloning. N. Y.: Cold Spring Harbor Laboratory Press, 1989.

10. Гавриленко И. В., Крюков В. М., Кузьмин Н. П.//2-я Всесоюз. конф. «Бактериальные токсины». Тезисы. Юрмала, 1989. С. 25.
11. Queen C. L., Korn L. J.//Nucl. Acids Res. 1984. V. 12. № 1. P. 581—599.

Поступило в редакцию
6.VIII.1992

I. V. GAVRILENKO, G. E. BAIDA, A. V. KARPOV, N. P. KUZMIN

NUCLEOTIDE SEQUENCE FOR THE PHOSPHOLIPASE C AND SPHINGOMYELINASE GENES FROM *Bacillus cereus* VKM-B164

*Institute of Biochemistry and Physiology of Microorganisms, Russian Academy of Sciences,
Pushchino, Moscow Region*

A *Bam*HI-*Eco*RV DNA fragment, containing tandemly arranged genes for the *Bacillus cereus* VKM-B164 phosphatidylcholine-specific phospholipase C and sphingomyelinase, has been cloned and sequenced in pUC19 plasmid (EMBL accession № X64141). The obtained gene sequences have been compared with those the *B. cereus* strains SE-1, IAM-1208 and GP-4 reported previously. Both phospholipase C and sphingomyelinase gene sequences of the VKM-B164 strain were found to be identical to those of the strain SE-1 and to differ from the sequences of GP-4 and IAM-1208 strains, containing another version of the gene sequences.